

اختلاف مؤشر الحرارة الأرضية (LST) بين جانبي الكرخ والرصافة من مدينة بغداد والعوامل المؤثرة به لسنة 2023

م.د. عباس صاحي سلمان
وزارة التربية / مديرية تربية الرصافة الثالثة
abbasabuekeen@gmail.com
07711844391

مستخلص البحث:

نتيجة التغيرات المناخية والزحف العمراني على حساب الاراضي الزراعية فقد زاد مؤشر الحرارة الأرضية (LST) خاصة في المناطق الحضرية، لذلك جاء هذا البحث ليكشف الفرق في مؤشر الحرارة الأرضية (LST) بين جانبي الكرخ والرصافة من مدينة بغداد لسنة 2023 باستخدام بيانات الأقمار الصناعية من خلال توظيف المؤشرات الطيفية ومخرجات القدرات التحليلية الواسعة لنظم المعلومات الجغرافية GIS، لذلك تم اختيار مريئة فضائية تابعة للقرم الصناعي Land sat سنة 2023، للوقوف على مؤشر الحرارة الأرضية (LST) ومؤشر التغطية النباتية NDVI ومؤشر التباين المعياري NDBI - إذ يعدان هذان المؤشران من أكثر المؤشرات تأثيراً على الحرارة الأرضية، وقد بلغ أعلى قيم مؤشر الحرارة الأرضية (LST) في جانب الكرخ (63.57_55.39)، أما أدنى قيم مؤشر الحرارة الأرضية (LST) فقد وصل إلى (47.19_39.01) - أما بالنسبة لجانب الرصافة فقد وصل أعلى قيم مؤشر الحرارة الأرضية (LST) إلى (63.82_55.64)، أما أدنى قيم (LST) وصل إلى (47.44_39.26)، وبذلك سجل جانب الرصافة أقيمت (LST) أعلى منه في جانب الكرخ في الحدود العليا والحدود الدنيا، وبالنسبة لمؤشر الغطاء النباتي بلغ أعلى مؤشر للتغطية النباتية NDVI في جانب الكرخ إلى (0.515_0.196)، أما أدنى قيم لمؤشر الغطاء النباتي (NDVI) فسجل (-0.107_0.144)، أما بالنسبة لجانب الرصافة فقد سجل أعلى قيم لمؤشر الغطاء النباتي (NDVI) (-0.51_0.19)، أما أدنى قيم لمؤشر الغطاء النباتي (NDVI) فوصل إلى (-0.089_0.19)، أما بالنسبة لمؤشر التباين المعياري (NDBI) فقد بلغ هذا المؤشر في جانب الكرخ (-0.51_0.015)، أما أدنى مستوى لهذا المؤشر فقد بلغ (-0.38_0.093)، أما لجانب الرصافة فقد بلغ أعلى مستوى لهذا المؤشر (0.46_0.0071)، أما أدنى مستوى فقد بلغ (-0.081_0.33)، أما بالنسبة لعملية نمذجة مؤشر التغطية النباتية NDVI مع مؤشر الحرارة الأرضية (LST) في كل من جانب الكرخ والرصافة فقد سجل أعلى معدل مؤشر الحرارة الأرضية (LST) لجانب الكرخ (59.02) م°، أما أدنى معدل فوصل (42.80) م°، أما جانب الرصافة سجل معدلًا وصل إلى (60.23) م°، أما أدنى معدل سجل (43.40) م°، وبذلك يكون معدل مؤشر الحرارة الأرضية (LST) لجانب الرصافة قد سجل مقداراً أعلى منه في جانب الكرخ في حدود المعدلات العليا والدنيا ضمن نطاقات مؤشر الـ (NDVI)، أما بالنسبة لنمذجة مؤشر الحرارة الأرضية (LST) مع مؤشر التباين المعياري (NDBI) لجانب الكرخ والرصافة، فقد سجل أعلى معدل لمؤشر (LST) في جانب الكرخ معدل وصل إلى (59.18) م°، أما أدنى معدل فوصل إلى (43.15) م°، وبالنسبة لجانب الرصافة فقد سجل أعلى معدل مؤشر الحرارة الأرضية (LST) ضمن مؤشر التباين المعياري (NDBI) (60.65) م°، وكان أدنى معدل وصل إلى (43.70) م°، وعليه يكون معدل مؤشر (LST) لجانب الرصافة قد سجل مقداراً أعلى منه في جانب الكرخ في حدود المعدلات العليا والدنيا ضمن نطاقات مؤشر الـ (NDBI) .

الكلمات المفتاحية: جانب الكرخ، جانب الرصافة، مؤشر الحرارة الارضية، مؤشر التغطية النباتية، مؤشر التباين المعياري .
المقدمة :

تختلف الخصائص المناخية للمدن عن بعضها البعض بفعل عوامل كثيرة منها الظروف الطبيعية للأرض وموقعها الجغرافي ولا يظهر الاختلاف في هذه الخصائص للمدن فحسب وإنما بين نطاقات المدينة الواحدة⁽¹⁾، وبسبب العوامل البشرية خاصة النمو العمراني السريع والتطور في الصناعة والتكنولوجيا وزيادة الهجرة من الريف إلى المدينة بحثاً عن حياة أفضل⁽²⁾، مما اثر على مناخ المدينة المحلي مقارنةً بما يجاورها بسبب استعمالات الأرض التجارية والصناعية واستعمالها السكني، وحركة المرور وتطور زيادة أعداد الأجهزة الكهربائية وإكساء الشوارع بالإسفلت وتغيير نوع مادة البناء . تعدد درجة حرارة السطح ذات أهمية في الدراسات المناخية لما لها من تأثير في طبقات الجو السفلية من خلال الموازنة الحرارية، إذ أنها تؤثر في تنظيم الخصائص الحرارية للطبقات الحرارية الدنيا من الغلاف الجوي ضمن المناطق الحضرية، فضلاً عن تحديد المناخات المغلقة ضمن البناء داخل المناطق الحضرية، كما أنها تؤثر في تبادلات الطاقة التي تتعكس على الراحة الفسيولوجية للإنسان - إذ يؤدي إلى تباين خصائص السطح وجو المدينة الناجم عن انشطة الإنسان إلى تغير المناخ المحلي للمدن ليكون أكثر دفئاً من المناطق المحيطة والمناطق ذات الغطاء الخضري . وتعد المؤشرات الطيفية إحدى الأدوات المهمة في الوقوف على درجة حرارة السطح عن طريق مؤشر اختلاف الحرارة الأرضية (LST)، إذ تتوفر في المرئيات الفضائية الحزم الحرارية كما هو الحال في سلسلة مرئيات اقمار Land Sat ، إذ يمكن عن طريق هذه الحزم امكانية قياس حرارة سطح الأرض، كذلك توفر المرئيات الفضائية المؤشرات التي من شأنها التأثير على مناخ وحرارة الأرض داخل المدينة ومنها مؤشر التغطية النباتية (NDVI) ومؤشر التباين المعياري (NDBI)، ويمكن عن طريق هذه المؤشرات المذكورة الخروج بنمذجة مكانية للوقوف على المؤشرات الأكثر تأثيراً على الحرارة الأرضية داخل المدينة .

أولاً: مشكلة البحث:

- 1- هل هناك اختلاف في مؤشر الحرارة الأرضية (LST) بين جانبي مدينة بغداد ؟
- 2- هل هناك تأثير للغطاء الخضري (NDVI) والكتلة العمرانية (NDBI) على مؤشر الحرارة الأرضية (LST) بين جانبي مدينة بغداد؟

ثانياً: فريضة البحث :

- 1- هناك اختلاف في مؤشر الحرارة الأرضية (LST) بين جانبي مدينة بغداد تم الكشف عنه باستخدام بيانات الاستشعار عن بعد من خلال المؤشرات الطيفية .
- 2- هناك تأثير للغطاء الخضري (NDVI) والكتلة العمرانية (NDBI) على مؤشر الحرارة الأرضية (LST) بين جانبي مدينة بغداد وتم الاستدلال عن ذلك باستخدام النمذجة المكانية في منطقة الدراسة .

ثالثاً: هدف البحث:

يهدف البحث إلى الكشف عن اختلاف مؤشر الحرارة الأرضية (LST) بين أجزاء المدينة المتمثلة بجانبي مدينة بغداد الكرخ والرصافة والعوامل المؤثرة على هذا المؤشر ومنها مؤشر الغطاء الخضري (NDVI) ومؤشر الكتلة العمرانية (NDBI) من خلال استخدام نماذج خرائطية يمكن استخدامها من خلال مخططى المدن واصحاب القرار للحد من ظاهرة ارتفاع الحرارة داخل المناطق الحضرية والعوامل المؤثرة على هذه الظاهرة .

رابعاً: أهمية البحث:

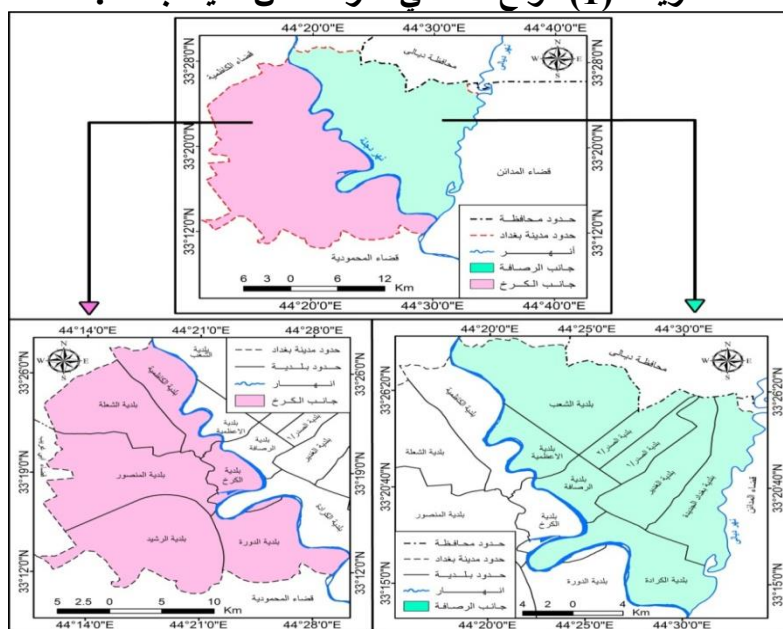
تاتي أهمية البحث من جانب بيئي، فبسبب التوسيع العمراني للمدن وقلة المساحات الخضراء اخذت هذه المناطق في الزيادة بدرجة الحرارة بين اجزاء المدن المختلفة وعن المناطق التي تجاورها، اطلاقاً من ذلك جاءت هذه الدراسة لتكشف عن التباين المكاني للحرارة الارضية بين اجزاء مدينة بغداد بجانبها المتمثل بجانبي الكرخ والرصافة، مستندة على المؤشرات الطيفية من خلال نماذج خرائطية توضح التباين المكاني لأرتفاع الحرارة الارضية والعوامل المؤثرة في هذا التباين للحد من آثار هذه الظاهرة خاصة في فصل الصيف.

خامساً: حدود البحث:

1- الحدود المكانية :

تقع منطقة الدراسة ضمن محافظة بغداد، إذ تتشكل منطقة الدراسة من الجزأين المتمثلين من مدينة بغداد وهما جانب الرصافة وجانب الكرخ، إذ يحده جانب الرصافة من الشمال كل من محافظة ديالى وقضاء الاعظمية اما من جهة الشرق فيحده قضاء المداين واما من جهة الجنوب فيحده جانب الكرخ، اما بالنسبة للموقع الفلكي لجانب الرصافة فيمتد من خط طول E 44°18'2.473" شرقاً إلى خط طول E 44°34'13.89" شرقاً، ومن دائرة عرض N 33°13'14.86" شمالاً إلى دائرة عرض N 33°29'23.54" شمالاً، اما بالنسبة لموقع جانب الكرخ فيحده من الشمال قضاء الاعظمية وجانب الرصافة ومن الشرق جانب الرصافة ومن الجنوب قضاء المحمودية ومن الغرب قضاء ابو غريب، اما بالنسبة للموقع الفلكي لجانب الكرخ فيمتد من خط طول E 44°11'2.81" شرقاً إلى خط طول E 44°30'15.27" شرقاً، ومن دائرة عرض N 33°10'30.327" شمالاً إلى دائرة عرض N 33°28'19.72" شمالاً . وتمثلت خرائط المنطقتين باستعمال مسقط مركتور المستعرض² WGS84 UTM وبنطاق 38 (Zone)، كما في الخريطة (1) ولمساحة كلية تقدر بـ (373.10) كم² لجانب الرصافة، و (511.54) كم² لجانب الكرخ .

خريطة (1) موقع منطقتي الدراسة من مدينة بغداد .



المصدر: امانة بغداد، شعبة الـ GIS، خريطة مدينة بغداد الادارية، مقياس 1:100000

.Arc Map 10.8.4، باستعمال برنامج 2024،

2- الحدود الزمانية :

تمثلت الحدود الزمانية للدراسة بتحري اختلاف مؤشر الحرارة الارضية (LST) بين جانبي الكرخ والرصافة من مدينة بغداد لسنة 2023 وللموسم الجاف حصراً .
سادساً: منهجية البحث:

المنهج التحليلي وطريقة الخبر الخرائطي في تحليل البيانات الفضائية، فضلاً عن الوسائل والادوات للبرمجيات التابعة لمعطيات الاستشعار عن بعد (RS) ونظم المعلومات الجغرافية (GIS) .

المبحث الاول

نماذج الكشف عن اختلاف مؤشر الحرارة الارضية (LST) بين جانبي الكرخ والرصافة والعوامل المؤثرة به لسنة 2023

تعد المؤشرات الطيفية أحد اهم العمليات التحسين الطيفي، إذ يمكن اجراء عمليات حسابية على النطاقات الطيفية بهدف انتاج مرئية جديدة ذات دلالة موجهة اكثر قدرة على الشرح والتفسير، إذ تستخدم هذه المؤشرات المتعددة الاطياف في مختلف التطبيقات عن طريق معالجة وتقدير الاشعاع الطيفي وتحسينه⁽⁴⁾، ويعرف المؤشر (INDEX) اداة للاستدلال عن ظاهرة معينة، وذلك عن طريق اشتقاق بعض العلاقات الرياضية من الموجة الكهرومغناطيسية المسجلة بواسطة المتحسسات، بمعنى آخر فان المؤشرات الطيفية مبنية على مبدأ تفاعل الاشعة مع الهدف (الاجسام)، وهي متعددة ومتطرورة فمنها ما يختص بدراسة النبات والترة والمناخ والجيولوجيا وغيرها⁽⁵⁾. وما تجدر الإشارة إليه اعتمدت الدراسة على المؤشرات الطيفية الخاصة بمؤشر الحرارة الارضية (LST) ومؤشر الغطاء النباتي (NDVI) ومؤشر التباين المعياري (NDBI) .

1- مؤشر الحرارة الارضية (LST) .

2- مؤشر الغطاء النباتي (NDVI) .

3- مؤشر التباين المعياري (NDBI) .

1- مؤشر الحرارة الارضية (LST) . Land Surface Temperature

تم استخدام هذا المؤشر لاستخراج درجة حرارة السطوح لتكشف عن التبارين الحراري الذي ينتج عن استعمالات الارض الحضرية والغطاءات الارضية المختلفة واستخراج هذا المؤشر تم استخراج المؤشر المذكور من المرئية الفضائية للقمر الصناعي Land Sat_8 OLI للفترة من 2023 وللموسم الصيفي باستخدام المعادلة الآتية⁽⁶⁾:

$$LST = \frac{(1321.08) / \ln(774.89)}{(0.0003342 * B10) + 0.1}$$

إذ ان:

LST = مؤشر الحالة الحرارية لسطح الارض

0.1 ، 0.0003342 ، 1321.08 ، 774.89 قيم ثابتة تؤخذ من بيانات المرئية المستخدمة

B10 = الباند العاشر في المرئية الفضائية للقمر الصناعي Land Sat_8 .

2- مؤشر الغطاء النباتي (NDVI) Normalized Differences Vegetation Index

يعد مؤشر التغطية النباتية أحد المؤشرات الطيفية المهمة، وأشارت كثير من الدراسات والأبحاث التي قدمها كل من Jensen, 2001⁽⁷⁾؛ Penuelas and Araus, 1997⁽⁸⁾، إلى أهمية وامكانية الاستفادة من قيم ما يعرف بدليل الاختلاف الخضري، في دراسة حالة وتدور الغطاء النباتي لسطح الأرض، وذلك بالاعتماد على معطيات تقنيات الاستشعار عن بعد ونظم المعلومات الجغرافية . كذلك يعد مؤشر الاختلاف النباتي المعاير أو مؤشر التغطية النباتي من أكثر المؤشرات النباتية الطيفية

استخداما لاستخلاص النبات والغطاء النباتي وكشف حالته وكثافته وأكثرها شيوعا، وتتراوح قيم الـ NDVI بين (-1) وكلما زادت كثافة الغطاء النباتي اتجهت القيمة إلى (+1) وعلى العكس في حالة قلة الغطاء النباتي كأن تكون أراضي جرداً أو حضري أو مسطحات مائية اتجهت قيم الـ NDV إلى (-1)⁽⁹⁾. ويتم حساب الـ NDVI وفق المعادلة الآتية⁽¹⁰⁾ عن طريق استخدام المرئية الفضائية للقمر الصناعي Land Sat_8 OLI للموسم الصيفي:

$$NDVI = \frac{Band(5) - Band(4)}{Band(5) + Band(4)}$$

إذ إن:

NDVI : مؤشر التغطية النباتية .

Band4 : الطول الموجي تحت الحمراء القريب .

Band5 : الطول الموجي الأحمر .

والجدول الآتي يوضح دليل الفروقات النباتية :

جدول (1) تصنیف مؤشر الغطاء الخضراء NDVI.

قيمة الدليل النباتي Vegetation Index	قيمة الدليل النباتي NDVI
جيد	> 0.1
متوسط	0.01 - 0.1
ضعيف	0 - 0.01
ضعيف جداً	< 0

Lioa,M.L.Liu,P.znu,J.yay,The Data set of 1km Resoulution Monthly NDVI in China,1999.

ومما تجر الإشارة إليه فإن الغطاء النباتي سواء كانت طبيعية أم المناطق المزروعة لها الأثر الواضح في حرارة الطبقات السفلية من الغلاف الغازي بسبب امتصاص أشعة الشمس من قبل النباتات وعمليات النتح، إذ تعمل هذه العوامل على تخفيض درجة الحرارة في الأجزاء السفلية من الغلاف الغازي، وتشير الدراسات أن النباتات تعمل على منع التطرف الحراري سواء انخفاض أو ارتفاع درجات الحرارة ومن ثم تعد من وسائل السيطرة على المناخ⁽¹¹⁾.

3- مؤشر دليل التباين المعياري Normalized Difference Built-UpIndex (NDBI)

بعد مؤشر (NDBI) أحدى المعالجات الرقمية للتحسن الطيفي التي يمكن من خلالها ان تميز المناطق الحضرية او المكتظة بالبناء، ذلك انه يمثل نسبة الفرق بين الانعكاسات الطيفية عند الطول الموجي تحت الحمراء القريبة والطول الموجي تحت الحمراء القصيرة⁽¹²⁾، وهذا المؤشر يستخدم لتحليل واستبيان المناطق العمرانية ، ويمكن استخراج هذا المؤشر من المرئية الفضائية للقمر الصناعي Land Sat_8 OLI للموسم الصيفي وحسب المعادلة الآتية⁽¹³⁾

$$NDBI = \frac{(Band 6 - Band 5)}{(Band 6 + Band 5)}$$

إذ إن :

NDBI : دليل التباين المعياري .

Band 5 : الطول الموجي تحت الحمراء القريب .

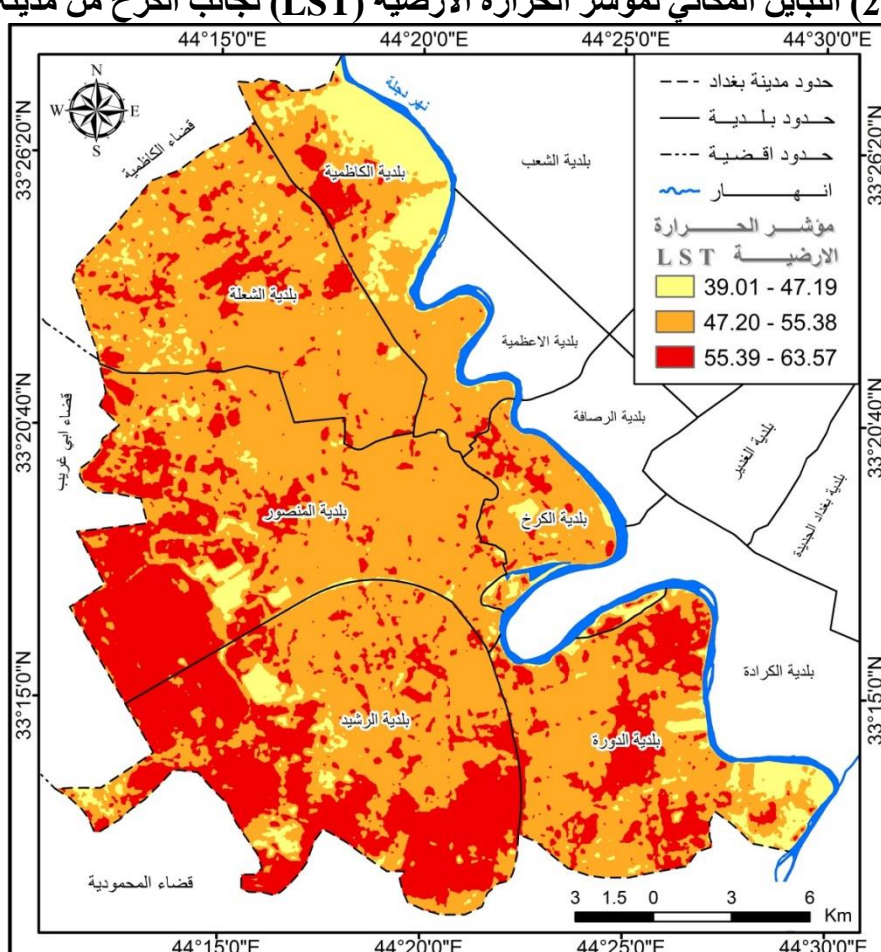
Band 6 : الطول الموجي تحت الحمراء القصيرة .
ومن الجدير ذكره فان المناطق الحضرية تعاني من ارتفاع درجات الحرارة عما يجاورها من المناطق الريفية والاراضي الجرداء نتيجة الانشطة البشرية التي يمارسها الانسان داخل المناطق الحضرية مثل النشاطات الصناعية وتغييره لمكونات سطح الارض مثل اقامة المنشآة السكنية والطرق وموافق السيارات⁽¹⁴⁾

المبحث الثاني

الكشف والاستدلال في اختلاف مؤشر الحرارة الارضية (LST) بين جانبي الكرخ والرصافة من مدينة بغداد لسنة 2023

لأجل الوقوف على الاختلاف الحاصل لمؤشر الحرارة الارضية (LST) بين جانبي الكرخ والرصافة من مدينة بغداد لابد من معرفة العوامل التي تسبب هذا الاختلاف الحاصل، ومن الجدير ذكره ان هذه العوامل هي نفسها تختلف ما بين جانبي مدينة بغداد، ويمكن الوقوف على هذه العوامل وعلى النحو الآتى:

١- الاختلاف في مؤشر الحرارة الأرضية (LST) بين جانبي الكرخ والرصافة من مدينة بغداد نلاحظ من الخريطة (2) التي مثلت التباين المكاني لمؤشر الحرارة الأرضية لجانب الكرخ من مدينة بغداد



المرئية الفضائية التابعة للقمر الصناعي LandSat_8 OLI، سنة 2023، القناة الطيفية B10. ان أعلى قيم مؤشر الحرارة الأرضية (LST) تم تسجيله في الأجزاء الجنوبية والجنوبية الغربية لجانب الكرخ، وبلغ (55.39-55.57)، اما ادنى قيم مؤشر الـ (LST) سجلت في الأجزاء الشمالية الشرقية والأجزاء الجنوبية الشرقية للمنطقة وبلغ (39.01-47.19)، اذ تعد هذه المناطق اراضي زراعية ضمن المنطقة، ويلاحظ من الجدول (2)، ان ادنى قيم مؤشر الـ (LST) التي بلغت (39.01-47.19) م° سجلت مساحة من المنطقة بمقدار وصل إلى (42.81) كم²، وبنسبة مئوية وصلت إلى (8.37%) من المساحة الكلية للمنطقة، في حين سجلت القيمة التي تتراوح (47.20-55.38) م° من مؤشر الـ (LST) مساحة بلغت (322.63) كم²، وبنسبة مئوية وصلت إلى (63.07%)، اما الفئة (55.39-55.57) م° وهي أعلى فئة مسجلة في جانب الكرخ لمؤشر الـ (LST) فقد اخذت مساحة بلغت (146.12) كم² لجانب الكرخ وبنسبة مئوية بلغت (28.56%) من المساحة الكلية للمنطقة، وتعزى الزيادة والنقصان لمؤشر الـ (LST) في المنطقة إلى عوامل عدة منها الغطاء النباتي وامتداد المناطق الحضرية في جانب الكرخ.

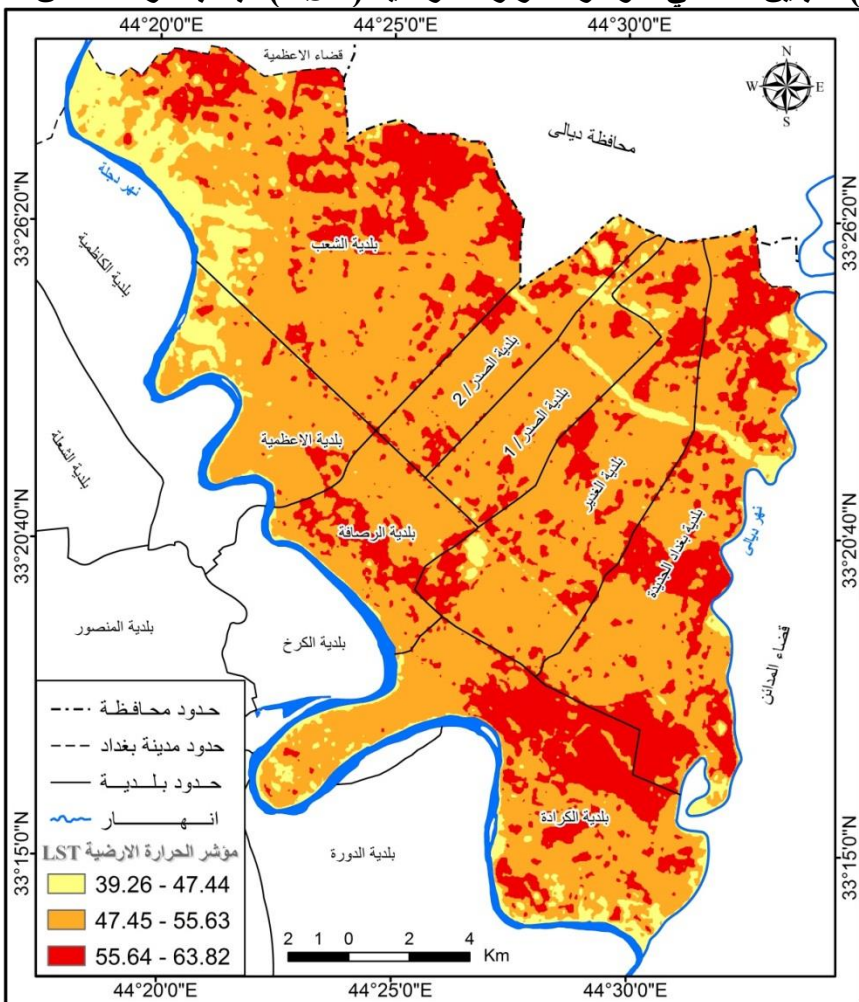
جدول (2) مساحة اصناف مؤشر الحرارة الأرضية LST لجانب الكرخ .

النسبة	المساحة / كم ²	مؤشر (LST) / بالمئوي
8.37	42.81	47.19 - 39.01
63.07	322.63	55.38 - 47.20
28.56	146.12	63.57 - 55.39
100	511.54	المجموع

. المصدر: خريطة (2)، باستعمال برنامج Arc Map 10.8.4

اما بالنسبة لمؤشر الـ (LST) في جانب الرصافة، فنلاحظ من الخريطة (3) التي مثلت التباين المكاني لمؤشر الحرارة الأرضية لجانب الرصافة، ان أعلى قيم مؤشر الحرارة الأرضية (LST) تم تسجيله في اجزاء متعددة من المنطقة خاصة الأجزاء الجنوبية والأجزاء الشمالية والشمالية الشرقية، اما ادنى قيم مؤشر الـ (LST) فسجلت في الاجزاء الشمالية الغربية المحاذية لنهر دجلة كونها اراضي زراعية، ويلاحظ من الجدول (3)، ان ادنى قيم مؤشر الـ (LST) التي بلغت (39.26-47.44) م° سجلت مساحة من المنطقة بمقدار وصل إلى (31.38) كم²، وبنسبة مئوية وصلت إلى (8.41%) من المساحة الكلية للمنطقة، في حين سجلت القيمة التي تتراوح (47.45-55.63) م° من مؤشر الـ (LST) مساحة بلغت (249.49) كم²، وبنسبة مئوية وصلت إلى (66.87%)، اما الفئة (55.64-63.82) م° وهي أعلى فئة مسجلة في جانب الرصافة لمؤشر الـ (LST) فقد اخذت مساحة بلغت (92.23) كم² لمنطقة جانب الرصافة وبنسبة مئوية بلغت (24.72%) من المساحة الكلية للمنطقة، وتعزى الزيادة والنقصان لمؤشر الـ (LST) في المنطقة إلى عوامل الغطاء والمناطق الحضرية في جانب الرصافة .

خريطة (3) التباین المکانی لمؤشر الحرارة الارضية (LST) لجانب الرصافة من مدينة بغداد.



المرئية الفضائية التابعة للقمر الصناعي LandSat 8 OLI، سنة 2023، القناة الطيفية B10.
جدول (3) مساحة اصناف مؤشر الحرارة الارضية LST لجانب الرصافة .

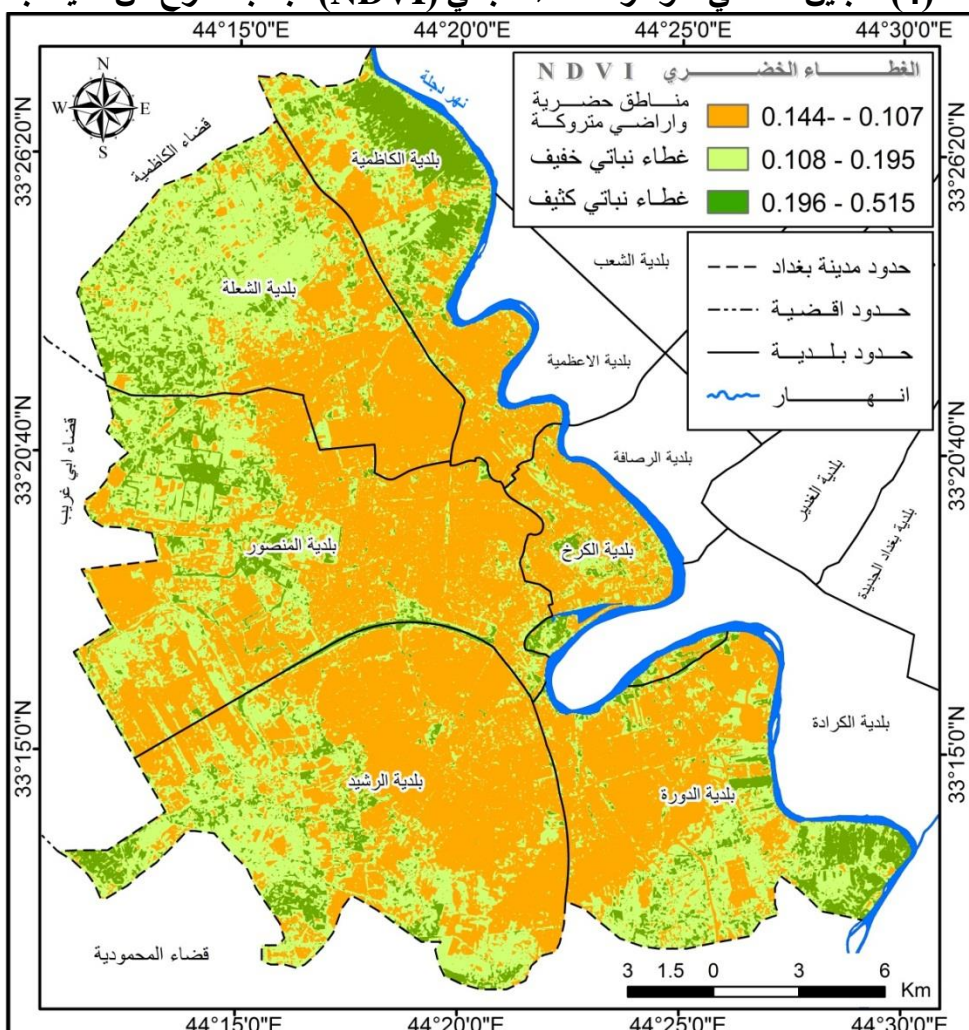
النسبة	المساحة / كم ²	مؤشر (LST) / بالمناوي
8.41	31.38	47.44 - 39.26
66.87	249.49	55.63 - 47.45
24.72	92.23	63.82 - 55.64
100	373.10	المجموع

. Arc Map 10.8.4 (3)، باستعمال برنامج .Arc

2- الاختلاف في مؤشر الغطاء النباتي (NDVI) بين جانبي الكرخ والرصافة من مدينة بغداد
 لاحظ من الخريطة (4) التي مثلت التباين المكاني لمؤشر الغطاء النباتي (NDVI) لجانب الكرخ من مدينة بغداد، ان أعلى قيم مؤشر الغطاء النباتي (NDVI) تم تسجيله في الأجزاء الشمالية الشرقية لجانب الكرخ بسبب كثافة المساحات الخضراء في هذه المنطقة التي تطل على نهر دجلة وقد وصلت إلى (0.515)، اما ادنى قيم لمؤشر الغطاء النباتي (NDVI) سجلت في الأجزاء الوسطى حيث المناطق الحضرية لجانب الكرخ، وقد وصلت إلى (0.144)، ويلاحظ من الجدول

(4)، ان أعلى قيم مؤشر الـ (NDVI) والتي تمثلت بصنف الغطاء النباتي الكثيف سجلت مساحة من المنطقة بمقدار وصل إلى (60.30) كم²، وبنسبة مؤدية وصلت إلى (11.79%) من المساحة الكلية للمنطقة

خريطة (4) التباين المكاني لمؤشر الغطاء النباتي (NDVI) لجانب الكرخ من مدينة بغداد.



المصدر: المرئية الفضائية التابعة للقمر الصناعي LandSat_8 OLI، سنة 2023، القناة الطيفية (4,5).

جدول (4) مساحة اصناف مؤشر الغطاء الخضري NDVI لجانب الكرخ .

الصنف	المساحة / كم ²	النسبة
مناطق حضرية واراضي متزروكة	269.76	52.73
غطاء نباتي خفيف	181.50	35.48
غطاء نباتي كثيف	60.30	11.79
المجموع	511.56	100

المصدر: خريطة (4)، باستعمال برنامج Arc Map 10.8.4 .

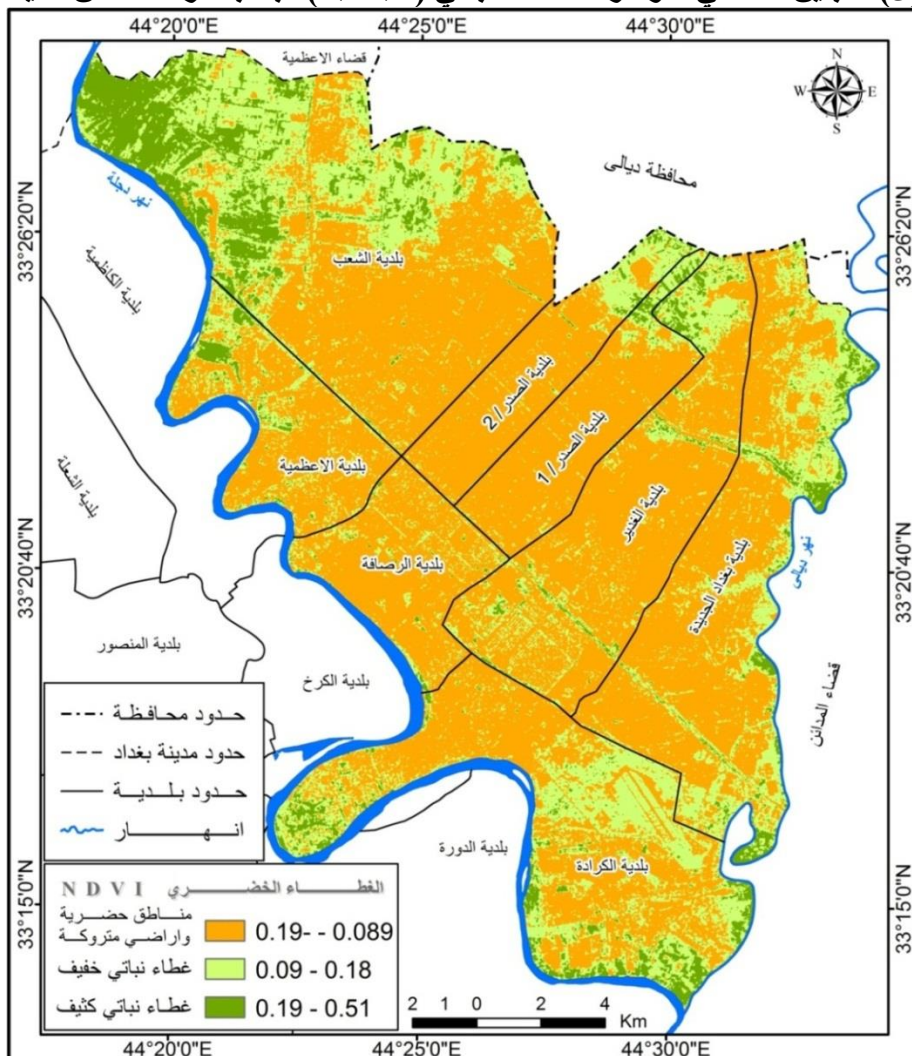
، في حين سجل صنف الغطاء النباتي الخفيف مساحة وصلت إلى (181.50) كم²، وبنسبة مئوية وصلت إلى (35.48)%، أما صنف المناطق الحضرية والاراضي المتروكة فقد اخذت مساحة بلغت (269.76) كم² لمنطقة جانب الكرخ، وبنسبة مئوية بلغت (52.73)% من المساحة الكلية للمنطقة .

اما بالنسبة للتوزيع المكاني لمؤشر الغطاء النباتي (NDVI) لجانب الرصافة نلاحظ من الخريطة (5)، ان أعلى قيم مؤشر الغطاء النباتي (NDVI) تم تسجيله في الأجزاء الشمالية والشمالية الغربية والأجزاء الشرقية المحاذية لنهر ديلي، كذلك سجلت المناطق الجنوبية قيم مؤشر عالٍ وتعزى هذه الزيادة الى وجود الاراضي الزراعية التي تحاذى نهري دجلة وديالى، اما ادنى قيم لمؤشر الغطاء النباتي (NDVI) فسجلت في الأجزاء الوسطى حيث المناطق الحضرية لجانب الرصافة، ويلاحظ من الجدول (5)، ان أعلى قيم مؤشر الـ (NDVI) والتي تمثلت بصنف الغطاء النباتي الكثيف فقد سجلت (0.51_0.19)، بمساحة من المنطقة بمقدار وصل إلى (33.13) كم²، وبنسبة مئوية وصلت إلى (8.88)% من المساحة الكلية للمنطقة، في حين سجل صنف الغطاء النباتي الخفيف مساحة وصلت إلى (97.91) كم²، وبنسبة مئوية وصلت إلى (26.24)%، اما صنف المناطق الحضرية والاراضي المتروكة فقد سجل ادنى مستوى قيم مؤشر الـ (NDVI) وبلغ (-0.19_0.089) اخذت مساحة بلغت (242.06) كم² لمنطقة جانب الكرخ، وبنسبة مئوية بلغت (64.88)% من المساحة الكلية للمنطقة .

3- الاختلاف في مؤشر دليل التباين المعياري (NDBI) بين جانبي الكرخ والرصافة من مدينة بغداد

نلاحظ من الخريطة (6) التي مثلت التباين المكاني لمؤشر التباين المعياري (NDBI) لجانب الكرخ من مدينة بغداد، إن أعلى قيم مؤشر التباين المعياري (NDBI) تم تسجيله في الاجزاء الوسطى من المنطقة، وبلغ (0.51_0.015)، اما ادنى مستوى لهذا المؤشر فقد ظهر في الاجزاء الشمالية الشرقية والجنوبية الشرقية لجانب الكرخ بسبب الاستعمال الزراعي في هذه المنطقة التي تطل على نهر دجلة، إذ بلغ (-0.38_0.093)، ويلاحظ من الجدول (6) الذي مثل مساحة اصناف مؤشر الـ (NDBI) في المنطقة، ان أعلى قيم مؤشر الـ (NDBI) والتي تمثلت بصنف المناطق الحضرية بلغت (309.50) كم²، وبنسبة مئوية وصلت إلى (60.50)% من المساحة الكلية لجانب الكرخ .

خريطة (5) التباین المکانی لمؤشر الغطاء النباتي (NDVI) لجانب الرصافة من مدينة بغداد.



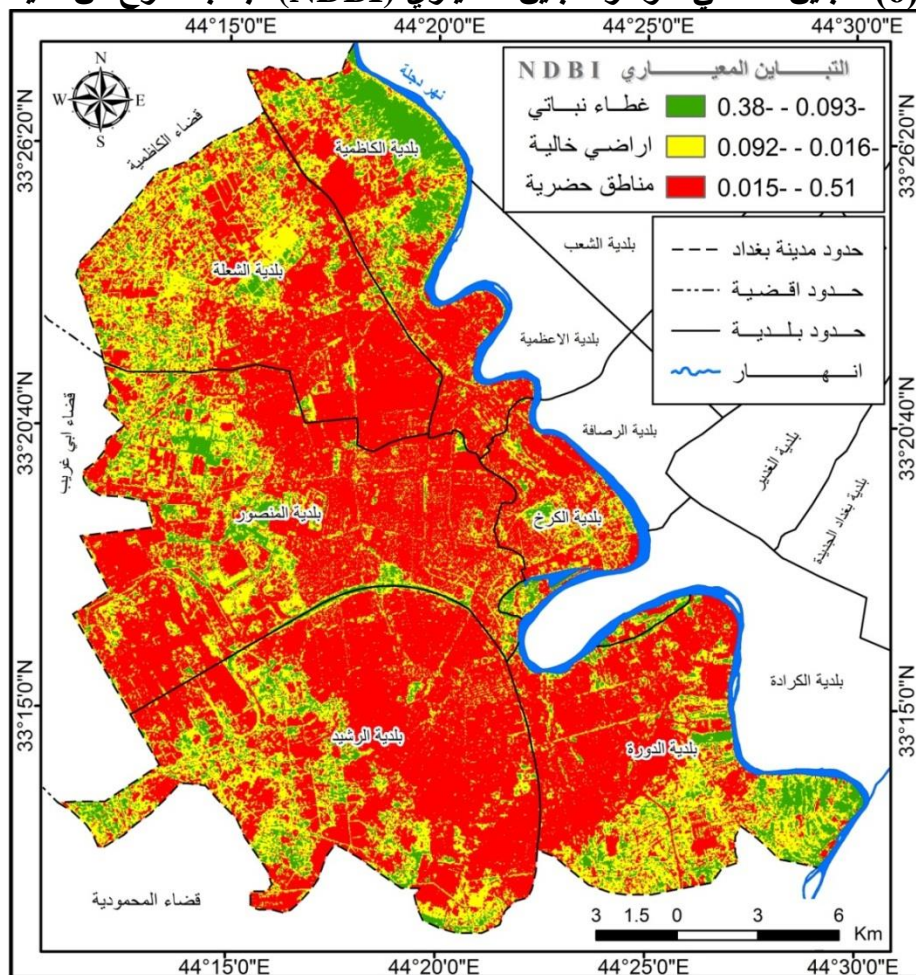
المرئية الفضائية التابعة للقمر الصناعي LandSat_8 OLI، سنة 2023، القاتمة الطيفية (4,5).

جدول (5) مساحة اصناف مؤشر الغطاء الخضري NDVI لجانب الرصافة .

الصنف	المساحة / كم ²	النسبة
مناطق حضرية واراضي متروكة	242.06	64.88
غطاء نباتي خفيف	97.91	26.24
غطاء نباتي كثيف	33.13	8.88
المجموع	373.10	100

المصدر: خريطة (5)، باستعمال برنامج Arc Map 10.8.4 .

خرائط (6) التباين المكاني لمؤشر التباين المعياري (NDBI) لجانب الكرخ من مدينة بغداد.



المريمة الفضائية التابعة للقمر الصناعي LandSat_8 OLI، سنة 2023، القناة الطيفية (6,5).

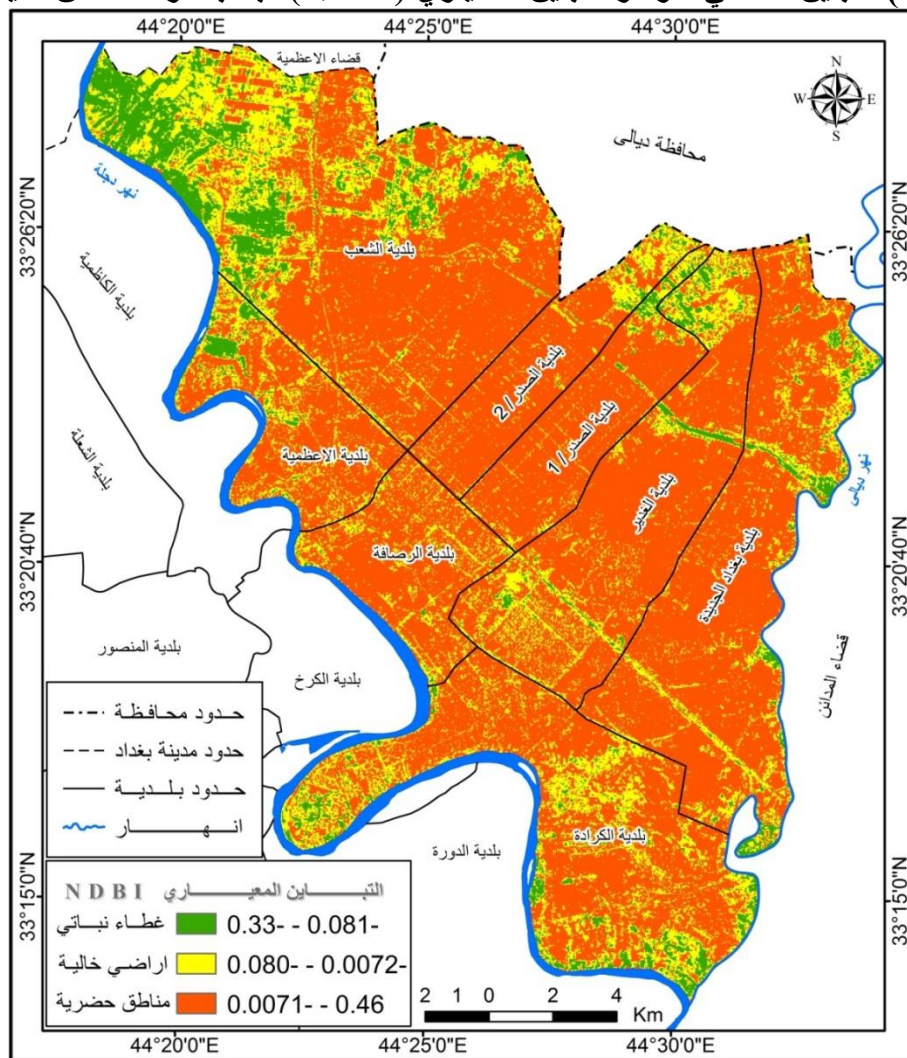
جدول (6) مساحة اصناف مؤشر التباين المعياري NDBI لجانب الكرخ .

الصنف	المساحة / كم ²	النسبة
غطاء نباتي	52.17	10.20
اراضي خالية	149.89	29.30
مناطق حضرية	309.50	60.50
المجموع	511.56	100

المصدر: خريطة (6)، باستعمال برنامج Arc Map 10.8.4 .

جاء بعدها صنف الاراضي الخالية بمساحة وصلت إلى (149.89) كم²، وبنسبة مئوية وصلت إلى (29.30)% من مساحة جانب الكرخ، وأخيراً صنف الغطاء النباتي بمساحة بلغت (52.17) كم²، وبنسبة مئوية وصلت إلى (10.20)% من مساحة جانب الكرخ . أما بالنسبة لجانب الرصافة فنلاحظ من خلال الخريطة (7) التي مثلت التباين المكاني لمؤشر التباين المعياري (NDBI) لجانب الرصافة من مدينة بغداد، ان أعلى قيم مؤشر الـ (NDBI) تم تسجيله في الأجزاء الوسطى من المنطقة، ويبلغ

0.46_0.0071)، اما ادنى مستويات هذا المؤشر تم تسجيلها في الاجزاء الشمالية الغربية والاجزاء الشمالية والجنوبية وبلغ (0.33_0.081)، إذ تعد هذه المناطق اراضي خريطة (7) التباین المکانی لمؤشر التباین المعياري (NDBI) لجانب الرصافة من مدينة بغداد.



المريمة الفضائية التابعة للقمر الصناعي LandSat_8 OLI، سنة 2023، القناة الطيفية (6,5). زراعية واراضي خالية نوعا ما، ويلاحظ من الجدول (7) الذي مثل مساحة اصناف اصناف مؤشر الـ (NDBI) في المنطقة، ان أعلى قيم مؤشر الـ (NDBI) والتي تمثلت بصنف المناطق الحضرية بلغت (265.72) كم²، وبنسبة مئوية وصلت إلى (71.22%) من المساحة الكلية لجانب الرصافة، جاء بعدها صنف الاراضي الخالية بمساحة وصلت إلى (78.39) كم²، وبنسبة مئوية وصلت إلى (21.01%) من مساحة جانب الرصافة، واخيراً صنف الغطاء النباتي بمساحة بلغت (28.99) كم²، وبنسبة مئوية وصلت إلى (7.77%) من المساحة الكلية لجانب الرصافة.

جدول (7) مساحة اصناف مؤشر التباين المعياري NDBI لجانب الرصافة .

النسبة	المساحة / كم ²	الصنف
7.77	28.99	غطاء نباتي
21.01	78.39	اراضي خالية
71.22	265.72	مناطق حضرية
100	373.10	المجموع

. المصدر: خريطة (7)، باستعمال برنامج Arc Map 10.8.4 نتائج الكشف والاستدلال في اختلاف مؤشر الحرارة الارضية (LST) بين جانبي الكرخ والرصافة من مدينة بغداد لسنة 2023

تم استعمال الاداة Zonal Statistics، وهي احدى الادوات المهمة في برنامج (Arc Map) في عملية نمذجة مؤشر الحرارة الارضية (LST) مع كل من مؤشر الغطاء النباتي (NDVI) ومؤشر التباين المعياري NDBI في كل من جانبي الكرخ والرصافة من مدينة بغداد، وذلك للوقوف على شدة الفرق لمؤشر الحرارة الارضية (LST) بين جانبي الكرخ والرصافة . ويمكن ايجاد الفرق المذكور من خلال النمذجة الآتية:

1- نمذجة مؤشر الحرارة الارضية (LST) مع مؤشر الغطاء النباتي (NDVI)

نلاحظ من الجدول (8) والشكل (1) اللذين مثلا نمذجة مؤشر الحرارة الارضية (LST) مع مؤشر الغطاء النباتي (NDVI) لجانب الكرخ ان أعلى معدل لمؤشر الحرارة الارضية (LST) سجل في صنف المناطق الحضرية والاراضي المتزوكة، إذ بلغ (59.02) م°، اما ادنى معدل فسجل (42.80) م° في صنف الغطاء النباتي الكثيف لمؤشر الغطاء النباتي (NDVI) . اما بالنسبة لجانب الرصافة فنلاحظ من الجدول (9) والشكل (2) اللذين مثلا نمذجة مؤشر الحرارة الارضية (LST) مع مؤشر الغطاء النباتي (NDVI) لجانب الرصافة، فإن أعلى معدل لمؤشر الحرارة الارضية (LST) سجل في صنف المناطق

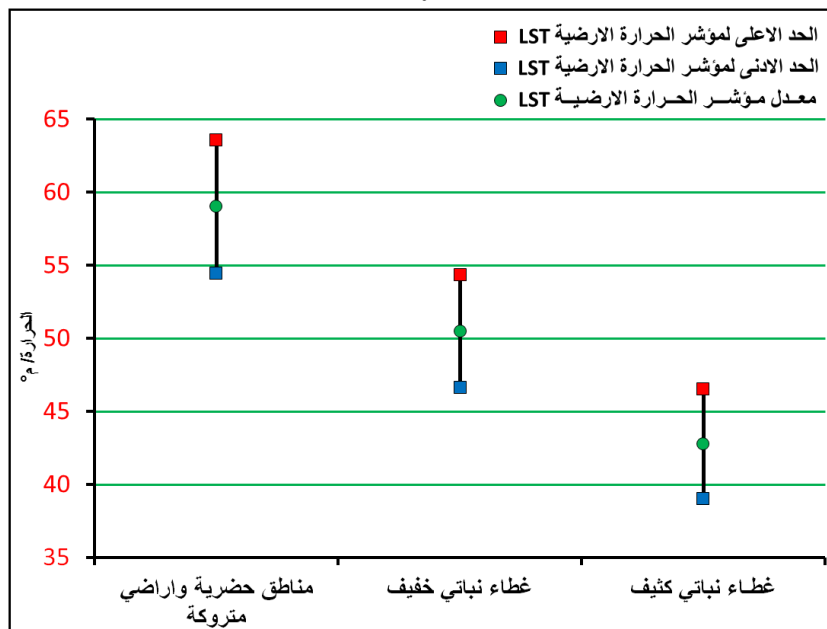
جدول (8) مؤشر الحرارة الارضية LST

حسب اصناف مؤشر الغطاء الخضري NDVI لجانب الكرخ سنة 2023 .

النوعي المتوسط/ المتوسط	الحد الادنى لمؤشر الحرارة الارضية بالمتوسط/ LST	الحد الاعلى لمؤشر الحرارة الارضية بالمتوسط/ LST	صنف الغطاء الخضري NDVI
59.02	54.47	63.57	مناطق حضرية واراض متزوكة
50.53	46.67	54.39	غطاء نباتي خفيف
42.80	39.01	46.59	غطاء نباتي كثيف

المصدر: خريطة(2)،(4)،باستعمال الاداة(Zonal Statistics)في برنامج Arc

.Map



شكل (1) مؤشر الحرارة الأرضية LST
حسب اصناف مؤشر الغطاء الخضري NDVI لجانب الكرخ سنة 2023

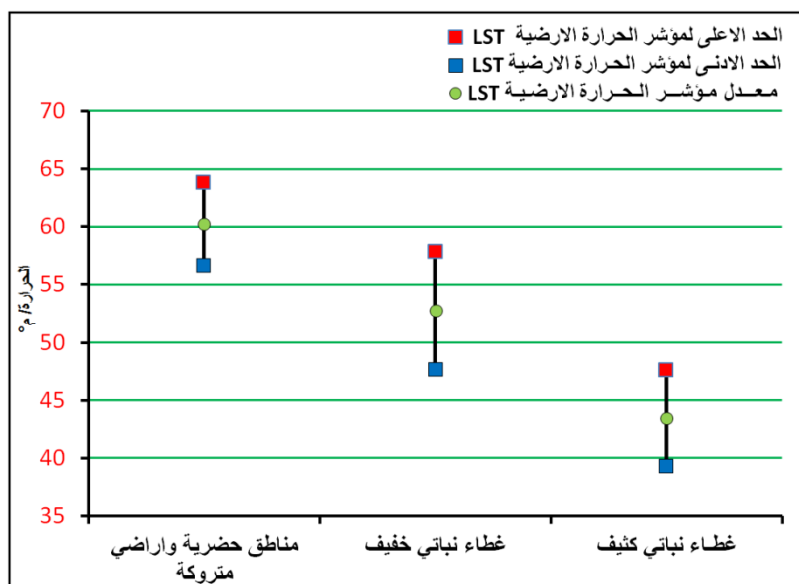
المصدر: الجدول (8).

الحضرية والارضي المتروكة، إذ بلغ (60.23) م°، اما ادنى معدل فسجل (43.40) م° في صنف الغطاء النباتي الكثيف لمؤشر الغطاء النباتي (NDVI)، وعليه يكون معدل مؤشر الحرارة الأرضية (LST) لجانب الرصافة قد سجل مقدارا اعلى منه في جانب الكرخ في حدود المعدلات العليا والدنيا ضمن نطاقات مؤشر الـ (NDVI)، ويعود سبب ذلك إلى اتساع مساحات المناطق الحضرية والارضي المتروكة في جانب الرصافة عنه في جانب الكرخ .

جدول (9) مؤشر الحرارة الأرضية LST
حسب اصناف مؤشر الغطاء الخضري NDVI لجانب الرصافة .

صنف الغطاء الخضري NDVI	الحد الاعلى لمؤشر الحرارة الأرضية LST / بالمئوي	الحد الادنى لمؤشر الحرارة الأرضية LST / بالمئوي	المعدل / بالمئوي
مناطق حضرية واراضي متروكة	63.82	56.64	60.23
غطاء نباتي خفيف	57.83	47.65	52.74
غطاء نباتي كثيف	47.54	39.26	43.40

المصدر: خريطة(3)،(5) باستعمال الاداة(Zonal Statistics)في برنامج Arc Map



شكل (2) مؤشر الحرارة الأرضية LST
حسب اصناف مؤشر الغطاء الخضري NDVI لجانب الرصافة سنة 2023

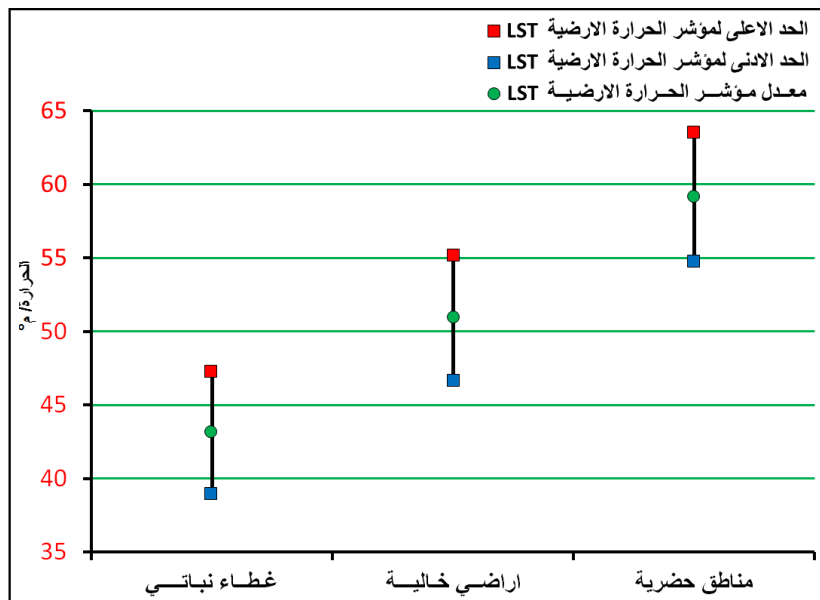
المصدر: الجدول (9).

2- نمذجة مؤشر الحرارة الأرضية (LST) مؤشر التباين المعياري (NDBI)
نلاحظ من الجدول (10) والشكل (3) (الذان مثلاً نمذجة مؤشر الحرارة الأرضية (LST) مع
مؤشر التباين المعياري (NDBI) لجانب الكرخ، ان أعلى معدل لمؤشر الحرارة الأرضية (LST)
سجل في صنف المناطق الحضرية، اذ بلغ (59.18° م)،اما ادنى معدل فسجل (43.15° م)
 SCNف الغطاء النباتي لمؤشر التباين المعياري (NDBI) . وهذا امر طبيعي كون ان الغطاء النباتي
يعمل على تخفيض الحرارة الأرضية على العكس من صنف المناطق الحضرية .

جدول (10) مؤشر الحرارة الأرضية LST
حسب اصناف مؤشر التباين المعياري NDBI لجانب الكرخ سنة 2023

المعدل/ بالمئوي	الحد الأدنى لمؤشر الحرارة الأرضية بالمئوي/LST	الحد الأعلى لمؤشر الحرارة الأرضية LST بالمئوي	صنف مؤشر التباين المعياري NDBI
43.15	39.01	47.29	خطاء نباتي
50.95	46.70	55.19	اراض خالية
59.18	54.79	63.57	مناطق حضرية

المصدر: خريطة(2)،(6) باستعمال الاداة(Zonal Statistics) في برنامج Arc Map



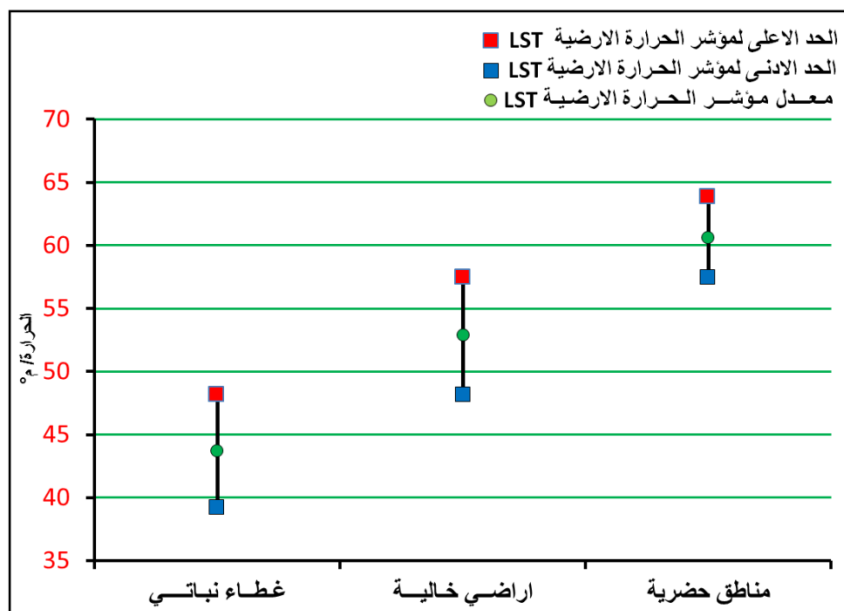
شكل (3) مؤشر الحرارة الأرضية LST
حسب اصناف مؤشر التباين المعياري NDBI لجانب الكرخ سنة 2023.
المصدر: الجدول (10).

اما بالنسبة لجانب الرصافة فنلاحظ من الجدول (11) والشكل (4) اللذين مثلاً نمذجة مؤشر الحرارة الأرضية (LST) مع مؤشر التباين المعياري (NDBI) لجانب الرصافة، فأن أعلى على معدل لمؤشر الحرارة الأرضية (LST) سجل في صنف المناطق الحضرية، إذ بلغ (60.65) م°، اما ادنى معدل مؤشر الحرارة الأرضية (LST) في صنف الغطاء النباتي لمؤشر التباين المعياري (NDBI)، وعليه يكون معدل (43.70) م° في صنف الغطاء النباتي لمؤشر التباين المعياري (NDBI)، وقد سجل مقداراً أعلى منه في جانب الكرخ في حدود المعدلات العليا والدنيا ضمن نطاقات مؤشر الـ (NDBI)، ويعود سبب ذلك إلى اتساع مساحات المناطق الحضرية في جانب الرصافة عنه في جانب الكرخ من مدينة بغداد.

جدول (11) مؤشر الحرارة الأرضية LST
حسب اصناف مؤشر التباين المعياري NDBI لجانب الرصافة سنة 2023.

المعدل/بالمئوي	الحد الأدنى لمؤشر الحرارة الأرضية LST/بالمئوي	الحد الأعلى لمؤشر الحرارة الأرضية LST/بالمئوي	صنف مؤشر التباين المعياري NDBI
43.70	39.26	48.14	غطاء نباتي
52.81	48.11	57.51	اراضي خالية
60.65	48.57	63.82	مناطق حضرية

المصدر خريطة (3)، (7) باستعمال الاداة (Zonal Statistics) في برنامج Arc Map



شكل (4) مؤشر الحرارة الأرضية LST
حسب اصناف مؤشر التباين المعياري NDBI لجانب الرصافة سنة 2023.

المصدر: الجدول (11).
الاستنتاجات:

- 1- سجل جانب الرصافة لمؤشر الحرارة الأرضية (LST) أعلى منه في جانب الكرخ، كذلك سجل أدنى مستوى للمؤشر المذكور في جانب الكرخ عنه في جانب الرصافة .
- 2- سجل مؤشر الغطاء النباتي (NDVI) تقارباً بين جانبي الكرخ والرصافة نوعاً ما في الحدود العليا للمؤشر المذكور، أما في الحدود الدنيا للمؤشر فقد سجل جانب الرصافة أقل منه في جانب الكرخ .
- 3- سجل جانب الكرخ لمؤشر التباين المعياري (NDBI) أعلى منه في جانب الرصافة، كذلك سجل أدنى مستوى للمؤشر المذكور في جانب الكرخ أيضاً عنه في جانب الرصافة .
- 4- تبين من خلال نمذجة مؤشر الحرارة الأرضية (LST) مع مؤشر الغطاء النباتي (NDVI) ان أعلى معدل لمؤشر الحرارة الأرضية (LST) في جانب الكرخ بلغ (59.02°)، أما أدنى مؤشر بلغ (42.80°) وبالنسبة لجانب الرصافة فقد سجل أعلى معدل لنمذجة مؤشر الحرارة الأرضية (LST) مع مؤشر الغطاء النباتي (NDVI) بمعدل وصل الى (60.23°)، أما أدنى مؤشر بلغ (43.40°) .
- 4- تبين من خلال نمذجة مؤشر الحرارة الأرضية (LST) مع مؤشر التباين المعياري (NDBI) ان أعلى معدل لمؤشر الحرارة الأرضية (LST) في جانب الكرخ بلغ (59.18° م)، أما أدنى مؤشر بلغ (43.15° م) وبالنسبة لجانب الرصافة فقد سجل أعلى معدل لنمذجة مؤشر الحرارة الأرضية (LST) مع مؤشر التباين المعياري (NDBI) بمعدل وصل إلى (60.65° م)، أما أدنى مؤشر بلغ (43.70° م) .

النوصيات

- 1- التوسع في زيادة المناطق الخضراء في كل من جانبي الكرخ والرصافة من مدينة بغداد .
- 2- زراعة الجزرات الوسطية والارصفة في طرق وشوارع جانبي الكرخ والرصافة من مدينة بغداد بالأشجار التي لها القدرة على امتصاص الغازات الدفيئة مثل غاز ثاني اوكسيد الكربون CO_2 ، ومن

امثلة هذه الاشجار شجرة السرو والأوكالبتوس وهذه الاشجار تطابق الوضع المناخي لمنطقة الدراسة ولا تحتاج إلى صيانة كثيرة .

3- الحفاظ على الاراضي الخضراء في داخل جنبي الكرخ والرصافة من مدينة بغداد كذلك الحفاظ على الاراضي الزراعية في اطراف مدينة بغداد وعدم التجاوز عليها .

4- استعمال النقل الجماعي في عملية تنقل السكان، وذلك للحد من التلوث الناجم من وسائل النقل خاصة السيارات .

5- الاسراع بمعالجة ملف الكهرباء الوطنية بغية التخلص من المولدات الاهلية التي لها الاثر الواضح في زيادة الاحتراق الارضي بسبب الغازات الضارة على جو المنطقة .

هواش البحث:

- (١) علي صاحب طالب الموسوي، عبد الحسن مدفون ابو رحيل، علم المناخ التطبيقي، دار الضياء للطباعة والتصميم، النجف الأشرف، 2011، ص 457 .
- (٢) المصدر نفسه، ص 475 .
- (٣) تم ايجاد مساحة بواسطة استخدام برنامج Arc Map 10.8.4.
- (٤) مصطفى حلو علي، دراسة تغيرات الغطاء الارضي واستعمالات الارض في محافظة ميسان باستخدام تقنيتي الاستشعار عن ونظم المعلومات الجغرافية، اطروحة دكتوراه (غير منشورة)، كلية التربية للعلوم الإنسانية، جامعة البصرة، 2018.
- (٥) سعد ابو راس الغامدي، مراقبة التصحر في اجزاء من غرب وجنوب غرب المملكة العربية السعودية باستخدام تقنيات الاستشعار عن بعد، مجلة جامعة الملك سعود للعلوم الزراعية، العدد 2/20، 1429 هـ .
- (٦) Suraj Shah, Satellite Imagery Based Observation of Land Surface Temperature of Kathmandu Valley , 4Khwopa Collaga of Engineering , Bhaktapur ,Nepal ,2018, p93..
- (٧) Jensen, P.L. and Huete, A.R., 2001. Assessment of Spectral Vegetation Indices for Riparian Vegetation in the Colorado River Delta. Mexico, J. of Arid Environment, Vol. 49, No. 1, pp.91.
- (٨) Penuelas, J. and Araus, A., 1997. Visible and Near Infrared Reflectance Assessment of Salinity Effected on Barley. Crop Science, (USA). Vol. 371 ,No. 1, pp.198.-202.
- (٩) هيفاء أحمد محمد، وأخرون، كشف وتحليل التغير في الغطاء النباتي باستخدام المؤشرات النباتية الطيفية، مجلة العلوم الإنسانية والاجتماعية ، المجلد 45، العدد 1، 2018، ص 90.
- (١٠) Sellers P. J., Vegetation- canopy spectral reflectance and biophysical processes. In Theory and Applications of Optical Remote Sensing. Edited by G. Asrar, Wiley, New York,1989.P.289.
- (١١) John.F.Griffiths,"Applied Climatology"Second Edition,Oxford University Press,1976.P57.
- (١٢) Priyakant Sinha, Niva Kiran Verma and Eskindir Ayele, Urban Built-up Area Extraction and Change Detection of Adama Municipal Area using Time-Series Landsat Images, International Journal of Advanced Remote Sensing and GIS, Volume 5, Issue 8, 2016,p.p1890.
- (١٣) Zha, Y., J. Gao, and S. Ni. "Use of Normalized Difference Built-Up Index in Automatically Mapping Urban Areas from TM Imagery." International Journal of Remote Sensing 24, no. 3 (2003): P 583-594.



(¹⁴) Mohamed,M."Summer land Surface Temperature"small-local Variation in intro-Urban Environment in EL Paso,TX.2013.

المراجع :

- 1- علي ، مصطفى حلو ، دراسة تغيرات الغطاء الارضي واستعمالات الارض في محافظة ميسان باستخدام تقنيات الاستشعار عن ونظم المعلومات الجغرافية، اطروحة دكتوراه (غير منشورة)، كلية التربية للعلوم الإنسانية، جامعة البصرة، 2018 .
 - 2- الغامدي ، سعد ابو راس ، مراقبة التصحر في اجزاء من غرب وجنوب غرب المملكة العربية السعودية باستخدام تقنيات الاستشعار عن بعد، مجلة جامعة الملك سعود للعلوم الزراعية، العدد 2/2014 هـ .
 - 3- محمد ، هيفاء أحمد ، وأخرون، كشف وتحليل التغير في الغطاء النباتي باستخدام المؤشرات النباتية الطيفية، مجلة العلوم الإنسانية والاجتماعية ، المجلد 45، العدد 1 ، 2018 .
 - 4- الموسوي ، علي صاحب طالب ، عبد الحسن مدفون ابو رحيل ، علم المناخ التطبيقي ، دار الضياء للطباعة والتصميم، النجف الأشرف ، 2011 .
- 5- Jensen, P.L. and Huete, A.R., 2001. Assessment of Spectral Vegetation Indices for Riparian Vegetation in the Colorado River Delta. Mexico, J. of Arid Environment, Vol. 49, No. 1.
- 6- John. F.Griffiths , "Applied Climatology" Second Edition, Oxford University Press,1976 .
- Lioa, M.L. Liu, P. znu ,J .yay ,The Data set of 1km Resoulution Monthly NDVI in 7 China,1999.
- 8- Mohamed ,M." Summer land Surface Temperature" small-local Variation in intro-Urban Environment in EL Paso,TX.2013.
- 9- Penuelas, J. and Araus, A., 1997. Visible and Near Infrared Reflectance Assessment of Salinity Effected on Barley. Crop Science, (USA). Vol. 371 ,No. 1 .
- 10- Priyakant Sinha, Niva Kiran Verma and Eskindir Ayele, Urban Built-up Area Extraction and Change Detection of Adama Municipal Area using Time-Series Landsat Images, International Journal of Advanced Remote Sensing and GIS, Volume 5, Issue 8, 2016 .
- 11- Sellers P. J., Vegetation- canopy spectral reflectance and biophysical processes. In Theory and Applications of Optical Remote Sensing. Edited by G. Asrar, Wiley, New York,1989 .
- 12- Suraj Shah, Satellite Imagary Based Observation of Land Surface Temperature of Kathmandu Valley , 4Khwopa Collaga of Engineering , Bhaktapur ,Nepal ,2018 .
- 13- Zha, Y., J. Gao, and S. Ni. "Use of Normalized Difference Built-Up Index in Automatically Mapping Urban Areas from TM Imagery." International Journal of Remote Sensing 24, no. 3 (2003) .



Geothermal index variation (LST) Between the Karkh and Rusafa sides of the city of Baghdad and the factors affecting it for the year 2023

Teacher, Dr. Abbas Dhahi Salman

Ministry of Education/Rusafa Third Education Directorate

abbasabuekeen@gmail.com

Abstract:

As a result of climate change and urban sprawl at the expense of agricultural lands, the ground temperature index (LST) has increased, Especially in urban areas. Therefore, This research came to reveal the difference in the ground temperature index (LST) between the Karkh and Rusafa sides of Baghdad city for the year 2023 using satellite data by employing spectral indicators and the outputs of the broad analytical capabilities of geographic information systems (GIS). Therefore, a satellite image from the 8_Land OLI sat satellite was chosen in 2023, to monitor the Land Surface Temperature Index (LST), the NDVI Vegetation Index, and the NDBI Normalized Variability Index. These two indicators are among the most influential indicators on global temperature. The highest values of the geothermal temperature index (LST) were in the Karkh side (55.39-63.57), while the lowest values of the geothermal temperature index (LST) were (39.01-47.19). As for the Rusafa side, the highest values of the geothermal temperature index (LST) reached (55.64_63.82), while the lowest values of (LST) reached (39.26_47.44). Thus, the Rusafa side recorded higher LST values than the Karkh side in the upper and lower limits. As for the vegetation index, the highest (NDVI) vegetation index was recorded on the Karkh side (0.196_0.515), while the lowest (NDVI) vegetation index values were recorded (-0.144_0.107). As for the Rusafa side, the highest values of the NDVI (Natural Domestic Viability Index) were recorded (-0.19_0.51), while the lowest values of the NDVI (Natural Domestic Viability Index) reached (-0.19_0.089). As for the standard deviation index (NDBI), this index reached (-0.015_0.51) in the Karkh side, while the lowest level of this index reached (-0.38_-0.093). As for Al-Rusafa, the highest level of this indicator reached (0.0071_0.46), while the lowest level reached (-0.081_-0.33). As for the process of modeling the NDVI vegetation index with the LST (Land Surface Temperature Index) in both the Karkh and Rusafa sides, the highest LST (Land Surface Temperature Index) rate was recorded for the Karkh side (59.02) °C. The lowest temperature reached (42.80)°C. As for the Rusafa side, it recorded an average of (60.23)°C, while the lowest average recorded (43.40)°C. Thus, the average ground temperature index (LST) for the Rusafa side recorded a higher value than that for the Karkh side, within the upper and lower limits of the (NDVI) ranges. As for the modeling of the geothermal temperature index (LST) with the normalized variance index (NDBI) for the Karkh and Rusafa sides, the highest rate of the LST index was recorded in the Karkh side, reaching (59.18)°C. The lowest temperature reached (43.15)°C. As for the Rusafa side, the highest rate of the geothermal temperature index (LST) within the normalized variation index (NDBI) was recorded at (60.65)°C, and the lowest rate reached (43.70)°C. Accordingly, the LST index rate for the Rusafa side recorded a higher value than that for the Karkh side, within the upper and lower limits of the NDBI index ranges.

key words: Karkh , Rusafa , LST , NDVI , NDBI .